

C-Bc-F-H

1938

HCFB₂ (J)

1402-II

Glockler g., Bachmann Y. H.

Phys. Rev. 1938, 54, 970-1

"Raman effect of dibromo fluorenethane"



C.A., 1939, 1215Y

7821 - IV

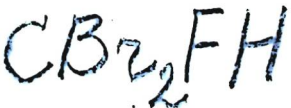
1940

(HBr_2Cl , HCl_2F , HBrClF , HBrCl_2 ,
 HClF_2 , HBr_2F , HBrF_2 , HCF_3)

Glockler G., Leader G.R.

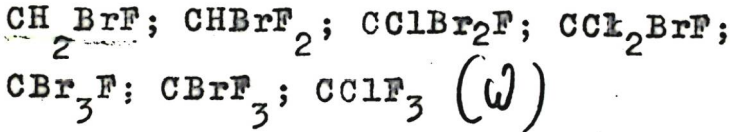
J. Chem. Phys. 1940, 8, 699-705
"The fundamental ..."

J



4942 - IV

1944

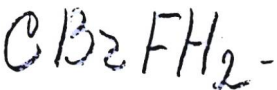


Stepanov B.I.

Compt. rend. acad. sci. URSS, 1944,
45, 567

Calculation of ...

J



1400-IV

1948

M.n. (CH_2FBr , CHFCl_2 , CHFClBr ,
 CHFBr_2 , CFCl_3 , CFCl_2Br , CFClBr_2 , CFBr_3)

Delwaalle M.L., François F.

Contrib. étude structure mol.,
Vol. commém. Victor Henri, 1947/48,
119-124 (oppos.)

Raman spectra of some ...

C.A., 1949, 2865gh

CB_2FH_2

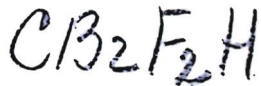
10

$\lambda - 1394$
 CF_2Br_2 , CHF_2Br , CF_3Br (We) 1951

Davidson N.

J. An. Chem. Soc. 1951, 73,
467-468

The ultraviolet absorption
spectra and ...



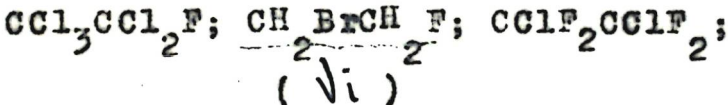
Chem. Abstr. 1952,
46, N 10,4363g

10

4832

-IV

1953

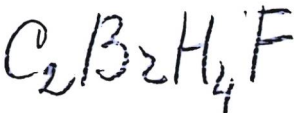


Simpson D., Plyler E.K.

J.Res.Nat.Bur.Standards, 1953, 50,
N5, 223-227

Infrared spectra of ...

J



CHBr_2F (γ_i , φ^* , S , C_p) B9-1403-IV

1955

Murata H., Palm A., Meister A.G.

J. Chem. Phys., 1955, 23, NY, 702-703 (auzu.)

Substituted methanes. XXV. Potential constants and calculated thermodynamic properties of dibromofluoromethane.

P.R.C.X. 1955, N20, 45289.

10

2

✓ ϕ

V-140(

1955

CHBrF_2 , CDBrF_2 (ν_i, ϕ^*, S, C_p)

Palm A., Voelz F.L., Meister A.G.

J.Chem.Phys., 1955, 23, N 4,
726-728 (amu.)

Substituted methanes. XXII. Infrared
red spectra of CHBrF_2 , and ...

PX., 1955, N 20,
45287

$\text{CB}_2\text{F}_2\text{O}$

H0

CHBrF_2

занесение

мера

ди

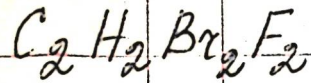
$\frac{\text{CHBrF}_2}{\text{CDBrF}_2}$

Bop-1901-IV

1955

Palm A., Voelz F. L., Meister A. G.,
J. Chem. Phys., 1955, 23, 726 - 728,
Занесение меры. XXII. N4

Изотактический сплав CHBrF_2 и
изотактическое нитрилобутадиен и
формированием из него гидро-
ксил сополимера CHBrF_2 и CDBrF_2



1954

представ
лено в J.
Барсуков

Kreeroy et al., Mason E.

J. Am. Chem. Soc.,

1954, 79 n18, 4851-54.

1957.

Nielsen J. R., Theimer R.

crec p

J. Chem. Phys., 1957, 27, 891

Magnetic susceptibility in paraffin-crec p
~~paraffin-crec p~~ area. Δ 1,1,1-tris(
2-methylpropyl)ethane.

$C_3^3 - CH_2Br$.

$\text{CF}_2:\text{CHBr}$

Синт

Терм. дин.

R. Theimer, J. R. Nielsen

1595-4943=IV

1957

J. Ch. Ph., 27, 264 - 268

У.К. и Раман спектр фторированных

заливов. ~~VII~~ VII (CF₂:CHBr)

Натриев спек. основные звуки

Частоты CF₂:CHBr : 3135, 1732, 1317,
1172, 957, 768, 741, 583, 568, 366 и 227 cm^{-1}

Радиус

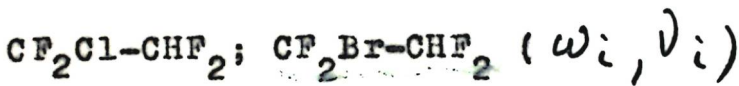
рад. ядер

Гр. № 3

288,16 - 800°K

1961

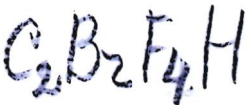
IV - 4855



Knaboe P., Nielsen J.R.
J.Chem.Phys., 1961, 34, N5,
1819 - 1826

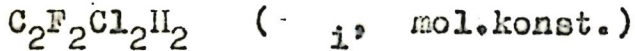
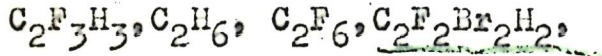
Infrared and Raman ...

J



1962

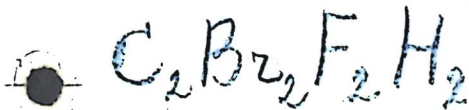
IV - 7415



Bucker H.P.

Dissertation Abstr., 1962, 23, 264-5
Normal coordinate ...

J



1962

$\text{CF}_2\text{Br}-\text{CH}_2\text{Br}$ H. P. Bucker, Jr.

Microfilm
C2H6
NCS.

171 90 pp.

B99-7415-11
Normal coordinate analysis
of CF_3-CH_3 , C_2F_6 and C_2H_6 .
Vibrational spectra of $\text{CF}_2\text{Br}-$
 CH_2Br and $\text{CF}_2\text{Cl}-\text{CH}_2\text{Cl}$.
(C2H6, C2F6)

CF₂Cl-CH₂Cl CF₂Br-CH₂Br (ν_i , ΔH°) 7416-II | 1963

Bucker H.P., Nielsen J.R. $C_2Br_2F_2H_2$

J. Mol. Spectry, 1963, 11, (1), 47-66

Infrared and Raman spectra of fluorinated ethanes. XII CF_2Cl-CH_2Cl , CF_2Br-CH_2Br

10

Бюл. оригина.

CA, 1963, 59, 2296 h

стран. разноз. этнол. между
груп. брачн. изолерами.

IV - 7651

1963

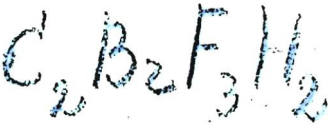
$\text{CF}_3\text{CH}_2\text{J}$, $\text{CF}_3\text{CH}_2\text{Br}$, $\text{CF}_3\text{CH}_2\text{F}$ (V_i)

Edgell W.F., Rierhof T.R., Ward C.

J. Molec. Spectrosc., 1963, 11, N 2,
92-107

The infrared and Raman ...

J



1963

B9-7651-IV

 $\text{CF}_3\text{CH}_2\text{Y}$ $\text{CF}_3\text{CH}_2\text{Br}$ $\text{CF}_3\text{CH}_2\text{F}$

) The infrared and Raman spectra of $\text{CF}_3\text{CH}_2\text{I}$, $\text{CF}_3\text{CH}_2\text{Br}$, and $\text{CF}_3\text{CH}_2\text{F}$. Walter F. Edgell, Thomas R. Kiehof, and Charlotte Ward (Purdue Univ., Lafayette, Indiana). *J. Mol. Spectry.* 11(2), 92-107(1963). The infrared spectra, 2-24 μ , and the Raman spectra of $\text{CF}_3\text{CH}_2\text{F}$, $\text{CF}_3\text{CH}_2\text{Br}$, and $\text{CF}_3\text{CH}_2\text{I}$ are reported. Complete fundamental frequency assignments are given. This series of compds. illustrates the theory of group vibrations. The group vibrations of CF_3 and CH_2 show a regular shift toward lower frequencies as the halogen substituent becomes heavier. From the spectroscopic data presented the rotational barriers of the mols. can be calcd.

R. Holroyd

u. K. checkup

 ν_i

c.A.1963.50.12

13474d

$\text{CH}_2\text{F}^{79}\text{Br}$

микровол.

спектр

IV-9587

▼ 4 Б181. Микроволновой спектр фторбромметана.
Сигпук Р. А., Sheridan J. Microwave spectrum
of Fluoro-bromomethane. «Nature» (Engl.), 1961, 202,
№ 4932, 591—592 (англ.)

1964

Исследован микроволновый спектр $\text{CH}_2\text{F}^{79}\text{Br}$ (I) и $\text{CH}_2\text{F}^{81}\text{Br}$ (II). Идентифицированы переходы $J_{0,J} \rightarrow J_{1,J-1}; J_{1,J} \rightarrow (J-1)_{2,J-3}; J_{1,J-1} \rightarrow (J-1)_{2,J-2}$ и $J_{1,J} \rightarrow (J+1)_{0,J+1}$. Вращательные постоянные равны (в $M\text{гц}$): I 39852,5; 3523,9; 3772,9 и II 39841,5; 3501,2; 3747,0, откуда при $\text{CH} 1,09 \text{ \AA}$; $\angle \text{HCH} 112^\circ$ и $\angle \text{HCBg} 108,5^\circ$ получается $\text{CF} 1,375 \text{ \AA}$; 1,915 \AA ; $\angle \text{FCB} 111^\circ$. Предварительные данные для постоянных ядерного квадрупольного взаимодействия χ (в $M\text{гц}$): I 443,5; —145,0; —298,5; II 371,9; —121,7; —250,2. Величина χ в направлении СВг близка к найденной для метилбромида, однако асимметрия в CH_2FBg больше, что может объясняться вкладом структуры $\text{F}-\text{CH}_2=\text{Br}^+$.

Т. Бирштейн

х. 1965. 4

CH_2FBr

(M. J. Curnick)

IV-9587

1964

Microwave spectrum of fluorobromomethane. P. A. Curnick and J. Sheridan (Univ. Birmingham, Engl.). *Nature* 202(4932), 591-2(1964). By using 25 transitions where 1st-order quadrupole coupling is nearly free from 2nd-order effects for the species $\text{CH}_2\text{F}^{79}\text{Br}$ (I) and $\text{CH}_2\text{F}^{81}\text{Br}$ (II), the following rotational consts. (Mc.) are obtained: for I, $A:B:C = 39,852.5:3523.9:3772.9$; for II, $39,841.5:3501.2:3747.0$. For the bond length and angles $\text{CH} = 1.09 \text{ \AA}$, $\text{HCH} = 112^\circ$, $\text{HCB} = 108.5^\circ$, CF is calcd. as 1.375 \AA , $\text{CBr} = 1.915 \text{ \AA}$, and $\text{FCBr} = 111^\circ$. Nuclear quadrupole coupling consts. for Br in Mc. for the *a*, *b*, and *c* components are: $^{79}\text{Br} = 443.5, -145.0, -298.5$; $^{81}\text{Br} = 371.9, -121.7, -250.2$.

S. Goldwasser

C. I. 1964 at N 4 3881 b.

1964

IV-10015

$\text{CF}_3\text{CH}_2\text{F}$; $\text{CF}_3\text{CH}_2\text{Cl}$; $\text{CF}_3\text{CH}_2\text{Br}$;
 $\text{CF}_3\text{CH}_2\text{J}$; (V_o, t.d.f.)

Ward. Ch.R., Ward C.H.

J.Mol.Spectry, 1964, 12(3), 289-98

Rotational barriers and . . .

J

E.O.T. & P. H.

CA, 1964, 60, N9, 10059d

CH2CF3Br

BP - M1519-IV | 1966

Lawe J.P.; Parr R.G.

(ν_0)

"J. Chem. Phys."

1966, 44 (8), 3001-9.

CF3CH2Br

1967.

Alfred Derek Hunter Clague

Univ. Microfilms . Diss. Abstr.

V_o
B 27(7), 2310(1967) .

(See B-C; III)

1817
 $\text{CF}_3\text{-CH}_2\text{Br}$ Brown F.B., et al.

4.4.

J. Mol. Spectrosc., 24 (2),
163-173.

V_{-}

Far infrared spectra
and barriers to inter-
nal rotation of five ha-
logenated ethanes.

III (see. $\text{CF}_3\text{-CF}_2\text{Cl}$)

$\text{CF}_3\text{CH}_2\text{Br}$

1964

A. Derek; H. Clague

V₀ Diss. Abstr. 24, 2310, 1964.

• $\text{Cu}(\text{BF}_3 \text{NH}_2\text{CH}_3)_2$; II

C_2H_4FBr

Bermani M.F. El., ugo. 1968
Spectrochim. acta,
A 24, N8, 1251

ИК-спектр

Тематическое концептуальное
1,2-хлоропропана и
1,2-бромопропана в
веществе и изображении
вещей.

(ал. C_2ClFH_3) III

$\text{BrCH}_2\text{CH}_2\text{F}$
($\text{b.}, \text{m.},$
парообраз.)

ElBermani M.F.,
Jonathan N.
J. Chem. Phys.
49, N1, 346

1968

сжжнр,
код.
асканс
 ν_1 ,
 $\Delta H_{\text{m.}-\text{n.}}$

Вращательное изомер
1-фтор-2-хлорэтанов

$(\text{CH}_2\text{ClFH}_4)^{\text{III}}$

19.08

CHF₂ Br₂

Holzer W.

f. Mol. Sprectresc., 25, nr 1,
123.

спекуля

Приобретенное синтез
спекуляцией KP. II. Абсо-
лютная величина -
субъективно синтез и спекуля-
ции -  синтез и спекуля-

личий в схемах
изображено расщеплен-
ных линий в
изображ. состоянии.

(ан. CH_2F_2) III

1969

DCBr

F₂

Carver T. G.,
Andrews L.

J. Chem. Phys., 50, n 12, 5700

Vi

МК синтез гидроокиси
марганца в изогородном агрегате.

(см. MCBr₂) III

$C_2H_2Br_2$ F_2

XIV-1704

1969

84480d Infrared studies of 1,2-dibromo-2,2-difluoroethane.

Klaeboe, Peter (Dep. Chem., Univ. Oslo, Oslo, Norway).

Acta Chem. Scand. 1969, 23(10), 3473-8 (Eng). The ir spectra of 1,2-dibromo-2,2-difluoroethane as a vapor, as a liq., and as a solid were recorded at 4000-250 cm^{-1} . The compd. was crystallized at room temp. under high pressure, and the ir spectra of a polycryst. sample and of a single crystal were obtained. The dichroic ratio of the stronger bands were registered. From the spectra it is clear that the same conformer is present in the low temp. and in the high pressure solids.

RCMW

JK - check

C.A.

1970.72.16

1969

C_2H_4FBc

Yielmezs J.
Hagan B.J.

Theoret. chim. acta,
1969, 15, nr 1, 89

Tom 9
(gasowa
izotonna)

● $(C_2F_2H_4)^{III}$

$C_2BrF_3H_2$

CF_3CH_2Br

UK - ceerup

(BQ - XIV - 108)

1970

Harnish D.F.

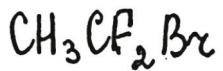
Hirschmann R.P.

Appl. Spectrosc., 1970,

24, n1, 28



$C_2F_4H_2$
 $(\text{Cet. } CF_3CH_2F) \text{ III}$



1972

During J. R;
et al.

($\nu_i; \nu_o$) "J. Chem. Phys.",
1972, 57, N1, 131-43.

○ (cu. $\text{CH}_3\text{CBr}_2\text{Cl}$; III)

CH_3CF_2

Br

1974

Dwight J. A.

Bucy W. Z.

J. Chem. Phys 1974, 60(8)

3293-8 (Eng)

No

(all CH_3CHCl_2 ; II)

$\text{CF}_3\text{CH}_2\text{Br}$

1973

Crowder G. A.

"γ-Fluor. Chex"

1973, 3 N2, 125-31

Si; C11.
no cu.

(eup. $\text{CF}_3\text{CH}_2\text{Cl}$; III)

60115.257

Ex-C, TC, Ph, Ch

29864

* 65-11236
CF2BrCHFBr (бромо-
трифлуороэтилен)

Ng Soon. Hindered internal rotation and
the nuclear magnetic resonance parameters
in 1,2-dibromo-1,1,2-trifluoroethane.

"J. Chem. Soc., Faraday Trans.", 1975,
Part 2, 71, N 11, 1839-1843

(англ.)

516.519

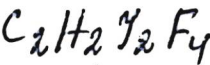
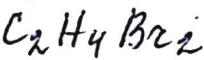
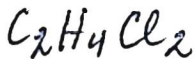
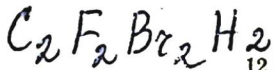
5

8545 НИК

ВИНИТИ

отмеч 4994

1976



фотоэл.
спектр

12 Б112. Фотоэлектронные спектры 1,2-дибром-1,1-дифторэтана, 1,2-бромхлорэтана, 1,2-дихлор-, 1,2-дибromo- и 1,2-диодтетрафторэтана. Chau F. T., McDowell C. A. Photoelectron spectra of 1,2-dibromo-1,1-difluoroethane, 1,2-bromochloroethane, and 1,2-dichloro-, 1,2-dibromo-, and 1,2-diiodotetrafluoroethane. «J. Phys. Chem.», 1976, № 26, 2923—2928 (англ.)

Исследованы фотоэлектронные спектры (ФС) 1,2-дибром-1,1-дифторэтана, 1,2-бромхлорэтана, 1,2-дихлор-, 1,2-дибром- и 1,2-диодтетрафторэтана (I). Положение в спектре и отсутствие колебательной структуры четырех первых полос ФС рассмотренных соединений позволило отнести их к ионизации с орбиталей, являющихся линейными комбинациями неподеленных пар (НП) атомов галогенов (Cl, Br, I), причем в расчетах этих соединений методом ССП МО ЛКАО в прибли-

+4



X.1977. N12

жениях ППДП/БУ и ППДП/2 эти орбитали являются вырожденными, что противоречит эксперименту. Вырождение орбиталей НП снимается при расчете одноэлектронным методом МО, типа Хюккеля, параметрически учитывающим спин-орбитальное взаимодействие, а также взаимодействие через пространство и через связь. Параметры всех трех видов взаимодействий определены для данных соединений т. обр., чтобы воспроизвести эксперим. потенциалы ионизации НП, а затем на их основе проанализирована природа орбитальных взаимодействий НП и сделана попытка определить предпочтительные конформации изучаемых соединений. Сделан вывод, что во всех рассмотренных соединениях взаимодействия НП через связь более существенны, чем взаимодействия через пространство. В газовой фазе I существует преимущественно в виде гош-конформера.

В. Фаустов

60916.3746

Ex-C, Ch, Fr, TC

HCBrClF

40892

4.к, Радио схема X 43-14749

1976

Diem M., Burow D.F.

Vibrational spectra and normal coordinate analysis of a bromochlorofluoromethane.

"J.Chem.Phys.", 1976, 64, N 12, 5179 - 5185
(англ.)

0704 лмк

ВИНИТИ

662 6636 ЗР

$\text{CF}_3\text{CH}_2\text{Br}$

1977

Lopata J.D. et al

(unexplic)
K.P.

"J. Raman Spectrosc."
1977, 6, N2, 61-66 (am.)

att. $\text{CF}_3\text{CH}_2\text{P}-\bar{\text{II}}$

CHF_2Br Osmium 8336 1979

Andrews L, et al.

U.K.

environ. J. Phys. Chem., 1979,
83 (7), 824-31

CHFBr_2

Commecu 8736/

1979

Keelan B.W., Andrewd.

U.R. Crisp

J. Phys. Chem., 1979,
83 (19), 2488-96

Matrix Photoionization of
dihalofluoromethane.

1979

CHFBr

CHFJ

И. К. Смирнов.

4 Б214. Инфракрасные спектры свободных радикалов CHFCI, CHFBг и CHFJ в твердом аргоне. Prochaska Frank T., Keelan Brian W., Andrews Lester. Infrared spectra of the CHFCI, CHFBг, and CHFJ free radicals in solid argon. «J. Mol. Spectrosc.», 1979, № 1—3, 142—152 (англ.)

Методом матричной ИК-спектроскопии изучены продукты р-ций CHFX_2 ($X=\text{Cl}$, Br и J) с атомами Li и Na. Сделан вывод об образовании MX и свободных радикалов CHFX. Идентификация полос поглощения этих радикалов подтверждена экспериментами с ^{13}C -и D-замещенными. Показано, что в результате фотолиза Ar-матриц $\text{CH}_2\text{FBг}$ и CH_2FJ также образуются радикалы CHFX. Проведено отнесение частот колебаний. Сопоставлена реакц. способность атомов Li и Na и пол.енных свободных радикалов. О. Г. Гаркуша

(4-1) 18



21980. n'4

CH2FBr

Lommeca 10783 | 1980

Prochaska F.T.
Andrews L.

U.K. Cenrpr

poloxamer

J. Chem. Phys., 1980,
73 (6), 2651-64

C₆H₄FB₂

1980

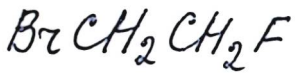
11 Д270. Электронный спектр парафторбромбензола.
Electronic spectra of parafluorobromobenzene. Singh
Shashi K., Upadhyay K. N. «Pramana. J. Phys.»,
1980, 14, № 5, 389—393 (англ.)

В области 2900—2400 Å исследован электронный спектр поглощения парафторбромбензола и дан анализ его колебательной структуры. Наиболее интенсивные полосы, включая полосу O—O, являются полосами В-типа. Отмечено, что колебательные полосы А-типа также наблюдаются, хотя они и меньше по интенсивности, чем полосы В-типа. Проведена идентификация наблюдавшихся колебательных частот. Приведены значения фундаментальных колебательных частот основного и возбужденного электронных состояний. Обсуждены возможные изменения в молекулярной геометрии исследуемых молекул при возбуждении из состояния 1A_1 в состояние 1B_2 .

Е. Н. Викторова

*Электр.
спектр
молекул
гомологов*

Ф. 1980 № 11



Commun 10978

1981

corr. nom. Pruettiangkura, P.,
et al.

Li

J. Fluorine Chem.
1981, 17(2), 155-8.



(corr. $\text{ClCH}_2\text{CH}_2\text{F}$; III).

$\text{FCH}_2\text{CH}_2\text{Br}$ 1981

Pruettiangkura P., et al

γ_i : c.c. nom.

c.c. n.

J. Fluor. Chem., 1981,

17 nr 2, 155-158.

● $(\text{c.c. } \text{FCH}_2\text{CH}_2\text{Cl})_{\text{III}}$

$\text{CF}_3\text{CH}_2\text{Br}$

1985

19 Б1230. Инфракрасное многофотонное поглощение и разложение молекул $\text{CF}_3\text{CH}_2\text{Br}$, $\text{CH}_3\text{CHBrCH}_3$, $\text{CH}_3\text{CHClCH}_3$, $\text{CH}_3\text{CHClCH}_2\text{CH}_3$, CH_3CF_3 и $\text{CH}_3\text{CH}_2\text{F}$. Infrared multiphoton absorption and decomposition for $\text{CF}_3\text{CH}_2\text{Br}$, $\text{CH}_3\text{CHBrCH}_3$, $\text{CH}_3\text{CHClCH}_3$, $\text{CH}_3\text{CHClCH}_2\text{CH}_3$, CH_3CF_3 , and $\text{CH}_3\text{CH}_2\text{F}$. Jang — Wren J. C., Setser D. W., Ferrero J. C. «J. Phys. Chem.», 1985, 89, № 3, 414—426 (англ.)

ИК-декаграфо —
техн. лазер —
излучение и
разложение

Исследованы процессы многофотонного возбуждения и диссоциации под действием ИК-излучением CO_2 -лазера молекул $\text{CF}_3\text{CH}_2\text{Br}$ (I), $\text{CH}_3\text{CHBrCH}_3$, $\text{CH}_3\text{CHClCH}_3$, $\text{CH}_3\text{CHClCH}_2\text{CH}_3$, CH_3CF_3 (III), CH_3CH_2 (IV). При интенсивностях излучения 0,05—5,0 Дж/см измерена энергия, поглощаемая молекулами. Выход диссоциации измерен для I—III, а для остальных молекул при интенсивности излучения вплоть до 5 Дж/см² диссоциация не

54

☒

Х. 1985, 19, № 19

наблюдается. Показано, что в процессах возбуждения и диссоциации II и III принимает участие лишь ограниченное число вращат. уровней основного состояния (эффект «узкого горла»), а в остальных случаях процессы возбуждения и диссоциации происходят с участием большого числа вращат. состояний. Для анализа результатов измерений использованы кинетич. ур-ния и определены сечения поглощения.

Е. В. Алиева

CH₂F - СН₂Br

ОТ 23288

1986

15 Б1242. Микроволновый спектр гош-1-бром-2-фторэтана. Microwave spectrum of gauche 1-bromo-2-fluoroethane. Niide Y., Ohkoshi I., Takano M., Hayashi M. «J. Mol. Spectrosc.», 1986, 115, № 2, 305—315 (англ.)

На штарковском МВ-спектрометре в обл. частот 10—35 ГГц с точностью 0,05 МГц измерены спектры 2 изотопич. образцов гош-конформера 1-бром-2-фторэтана, CH₂F — CH₂⁷⁹Br (I) и CH₂F — CH₂⁸¹Br (II), в основном колебат. состоянии. Анализ МВ-спектров выполнен в приближении модели асимм. волчка с учетом квартичного центробежного искажения и Br-ядерного квадрупольного взаимодействия. Для I и II соотв. постоянные ядерного квадрупольного взаимодействия (МГц) $\chi_{ab} = 266,4(17)$ и $225,5(12)$, $\chi_{bb} = -11,8(9)$ и $-11,5(7)$, $\chi_{cc} = -254,6(19)$ и $-214,0(14)$, $|\chi_{ab}| = 392,7(43)$ и $336,5(31)$ согласуются с отнесением МВ-спектров к гош-конформеру. Другой возможный транс-конформер обнаружить в спектре не удалось. С. Н. Мурзин

МВ спектр

X. 1986, 19, N 15.

Ma Fr

077.30929

1988

NOVAK I.,

(neop. pacrem) Z. Naturforsch. 1988,
43a, 851-854.

CBr₂ FH

(DM-33596)

1990

Griffiths W. J., Harris F. M.,
New J. Chem. 1990, 14,
261-264.

of:

Experimental Determination of
the Single and Double Ionization
Energies of the Halomethanes

CBr_2FCl and CBr_2FH .

CHFBz_2

(Om. 34549) 1990

Ibuki T., Hiraya A.,
et al.

creepor
process.

J. Chem. Phys. 1990,
92, N 7, 4277-4282.

Vacuum ultraviolet photo-
chemistry of CHFCl_2 and CHFBz_2

Absorption spectra and CTF
($\hat{A}'\hat{A}''$) radical formation.

CHFB₂

1990

5 Д127. Электронное строение малоизвестных галогенметанов. Electronic structure of less common halogenmethanes / Novak Igor // Z. phys. Chem. (BRD).— 1990.— 167, № 1.— С. 123—127.— Англ.; рез. нем.

Неэмпирическим методом ССП МО ЛКАО в базисе МИНИ-4 с использованием экспериментальной или полученной интерполяцией по эксперим. данным геометрии исследовано электронное строение ряда галогенметанов, содержащих 2 или 3 разных атома галогена (F, Cl, Br, I) и 0—2 атома H. Приведены полные энергии, дипольные моменты, потенциалы ионизации и проведено отнесение полос в фотоэлектронных спектрах. Отмечено, что экспериментальные дипольные моменты CHFB₂ и CB₂Cl₂, вероятно, неправильны.

В. Л. Лебедев

(1)

cf. 1991, n5

CHFB₂

1990

№ 10 Б1038. Электронная структура редких галогено-
метанов. Electronic structure of less common halomet-
hane / Novak Igor // Z. phys. Chem. (BRD).— 1990.—
167, № 1.— С. 123—127.— Англ.; рез. нем.

Неэмпирическим методом ССП с использованием ба-
зисного набора MINI-4 по программе MICROMOL
проведены расчеты электронной структуры, равновес-
ных геометрич. параметров, ПТ ионизации и диполь-
ных моментов 20-ти редких галогенометанов, содержа-
щих атомы Br и I. Полученные данные использованы
для интерпретации фотоэлектронных спектров иссле-
дованных галогенометанов. Показано, что эксперим.
дипольные моменты CHFB₂ и CBr₂Cl₂ существенно
меньше рассчитанных. Сделан вывод, что базисный
набор MINI-4 качественно правильно передает особен-
ности фотоэлектронных спектров, хотя и переоценивает
энергии ионизации.

И. Н. Сенченя

(*) (†)

X. 1991, N 10

$F_2C = CH^{79}Br$

1991

$F_2C = CH^{81}Br$

115: 122092r The microwave rotational spectra of i-bromo- α -2,2-difluoroethylene and the bromine nuclear quadrupole coupling tensor. Gildig, F.; Sutter, D. H. (Inst. Phys. Chem.,

Christian-Albrechts-Univ., W-2300 Kiel, Fed. Rep. Ger.). Z. Naturforsch., A: Phys. Sci. 1991, 46(6), 513-26 (Eng). The first assignment of the vibronic ground state rotational spectra for $F_2C = CH^{79}Br$ and $F_2C = CH^{81}Br$ is reported. Only μ_b -type transitions could be obsd. This indicates, that the C-F and C-Br bond dipole moments are almost equal despite of the large difference in the Pauling electronegativities of the 2 halogen atoms. The complete quadrupole Br-coupling tensors including their orientation with respect to the mol. principal inertial axes could be detd. and are discussed within the Townes-Dailey model. A partial r_0 -structure is proposed.

1/8 CNEKMP

M.H.

C.A. 1991, 115, n12

C-Br-F-H coquih.

1993

El-bindary, A.A.; Horn A.,
et al.,

UK &
manuscr. J. Chem. Phys. Phys.-Chem.
Soc. 1993, 90(9), 1685-70)

(all C-Cl-F-H coquihue)

HCF₂CF₂Br

1995

123: 68851s IR spectrum of HCF₂CF₂Br: hindered intramolecular vibrational energy redistribution. Fuss, W.; Kompa, K. L.; Weizbauer, S. (Max-Planck-Institut fuer Quantenoptik, D-85740 Garching, Germany). *Chem. Phys.* 1995, 196(1,2), 179-92 (Eng). The CH stretch band of the anti isomer of HCF₂CF₂Br shows a Q branch of only 1 cm⁻¹ of width and in the first overtone, it is the syn isomer which has a very narrow Q branch. Obviously, the hot bands starting, e.g., from the thermally populated states of the torsional vibration, practically coincide with the fundamental. Hence, the torsional frequency does not depend on the degree of CH excitation, and therefore neither does the torsional potential, although already a single CH quantum has more energy than the torsional barrier, above which there could be free internal rotation. A barrier height of 1590 cm⁻¹ is deduced from the obsd. torsional frequency of 76 cm⁻¹. This is too high for tunnelling. We conclude that there is no direct conversion of the energy from the CH vibration to internal rotation, although higher order coupling can probably cause a slow redistribution. Similarly, we conclude that the flow of CH vibrational energy to the CBr stretch and other low frequency modes is hindered, too. We point out the similarity to van der Waals mols., in which the low-frequency mode also has little coupling to the other vibrations. But the torsional-CH non-coupling is esp. intuitive, because it infers an unchanged barrier height and therefore an unchanged tunnelling frequency. We also propose that generally the nondiagonal anharmonicity between high- and low-frequency modes is small (<<1 cm⁻¹).
(UK CREAMP)

C.A. 1995, 123, N6

CHBrF₂

1997

128: 8316q Microwave spectrum, nuclear quadrupole coupling constants, and structure of bromodifluoromethane. Ogata, Teruhiko; Kuwano, Susumu; Oe, Sumio (Dep. Chem., Fac. Sci., Shizuoka Univ., Shizuoka, Japan 422). *J. Mol. Spectrosc.* 1997, 185(1), 147-152 (Eng), Academic. The microwave spectrum of CHBrF₂ (Halon 1201) was studied at 7-40 GHz. A least-squares anal. of the obsd. c-type transition frequencies gave rotational and centrifugal distortion consts. and components of the Br nuclear quadrupole coupling const. tensor in the principal axes system as follows: $A = 10199.7186(62)$ MHz, $B = 2903.4150(26)$ MHz, $C = 2360.152(23)$ MHz, $\Delta_J = 0.660(14)$ kHz, $\Delta_{JK} = 2.87(11)$ kHz, $\Delta_K = 8.95$ kHz, $\delta_J = 0.1344(24)$ kHz, $\delta_K = 3.22(15)$ kHz, $\chi_{aa} = 521.281(92)$ MHz, $\chi_{bb} - \chi_{cc} = -38.32(9)$ MHz, and $|\chi_{ad}| = 187.1(26)$

M. A.

M. A.

C.A. 1998, 128, N1

| MHz for the ^{79}Br species; $A = 10199.5567(54)$ MHz, $B = 2876.5588(20)$
| MHz, $C = 2342.3796(18)$ MHz, $\Delta_J = 0.652(12)$ kHz, $\Delta_{JK} = 2.77(9)$ kHz,
| $\Delta_K = 8.21(61)$ kHz, $\delta_J = 0.1300(19)$ kHz, $\delta_K = 2.97(913)$ kHz, $\chi_{aa} =$
| $435.61(10)$ MHz, $\chi_{bb} - \chi_{cc} = -32.08(8)$ MHz, and $|\chi_{ac}| = 148.5(29)$ MHz
for the ^{81}Br species. The structural parameters are calcd. from all these
rotational consts. and the electronic properties of the C-Br bond in
bromodifluoromethane are evaluated from the obsd. nuclear quadrupole
coupling consts. These mol. properties are compared with those of other
related mols.

Om 40 291 2000

F: CH₂BrF

P: 3

132:187013 The vibrational spectra and normal coordinates analysis of bromofluoromethane, CH₂BrF.

Baldacci, A.; Baldan, A.; Gambi, A.; Stoppa,
Dipartimento di Chimica Fisica, Universita
Ca' Foscari di Venezia, DCF Venice I-30123, Italy

J. Mol. Struct., 517-518, 197-208 (English)

2000 The IR gas-phase spectra of
bromofluoromethane (CH₂BrF) were studied in the
region <6200 cm⁻¹ under conditions of medium resoln.
All fundamentals and many overtones, combination

C.A.2000, 132

and hot bands were assigned leading to an almost complete set of anharmonicity consts. Rotational analyses were performed on the obsd. Q-branch features of over 10 bands. Enriched ^{79}Br and ^{81}Br samples were also employed to confirm vibrational assignment and supply further data. Analyses of Fermi resonance are made. The mol. structure was calcd. ab initio at the Hartree-Fock (HF), the 2nd order Moller-Plesset (MP2) and the d. functional theory (DFT) level with 6-311++G(3df, 2pd) basis set. The ab initio force consts. obtained from vibrational anal. at B3LYP/6-311++G(3df, 2pd) level of theory were employ to fit the exptl. data and an optimal harmonic force field was obtained f the CH_2BrF mol.